СПИСОК ИСПОЛЬЗОВАННОЙ ЛИТЕРАТУРЫ

- 1. Андрология для урологов. Клинические рекомендации: в 2 т. / под ред. П. А. Щеплева. Москва : Медконгресс 2020. Т. 2.
 - 2. Priapism / J. Pryor [et al.] // The Journal of Sexual Medicine. 2004. Volume 1, Issue 1. P. 116-120.
- 3. Incidence of priapism in the general population. / I. A. Eland [et al.] // Adult urology. 2001. Vol. 57, Iss. 5. P. 970-972.
- 4. Intracavernous papaverine/phentolamine-induced priapism can be accurately predicted with color Doppler ultrasonography. / B. Metawea B [et al.]. // Adult urology. 2001. Vol. 66, Iss. 4. P. 858-860.
- 5. Pudendal nerve surgery in the management of choronic pilvec and perineal pain. / R. Robert [et al.]. Progrès en Urologie. 2010. Vol. 20, Iss. 12. P. 1084–1088.

УДК 616.33/.34:[616.98:578.834.1]-073.43-018.1

А. М. Юрковский¹, М. А. Бойко², С. Л. Ачинович¹

Учреждение образования ¹«Гомельский государственный медицинский университет», Учреждение

²«Гомельский областной клинический онкологический диспансер» г. Гомель, Республика Беларусь

УЛЬТРАЗВУКОВОЙ И МОРФОЛОГИЧЕСКИЙ ПАТТЕРНЫ ПРИ COVID-19-АССОЦИИРОВАННОМ ПОРАЖЕНИИ ЖЕЛУДКА И КИШЕЧНИКА

Введение

Ассоциированные с COVID поражения ЖКТ отмечаются у 11,4—61,1% пациентов. При этом клинические признаки поражения ЖКТ неспецифичны (рвота, боль в животе, диарея), в связи с чем и возникает необходимость в проведении ультразвукового исследование органов брюшной полости. Однако ультразвуковых критериев COVID-ассоциированных поражений ЖКТ на данный момент нет. А значит, эти критерии необходимо разработать. И одним из путей решения этой проблемы является проведение сопоставлений данных морфологических и ультразвуковых исследований.

Цель: оценить возможность выявления COVID-19-ассоциированных поражений желудочно-кишечного тракта при трансабдоминальном и трансректальном ультразвуковом исследовании.

Материалы и методы исследования

Для достижения поставленной цели на первом этапе было проведено сопоставление результатов секционных и ультразвуковых исследований желудка и кишечника у 16 субъектов группы контроля (возраст 67,0 лет [65; 73]), умерших от причин, не связанных с COVID и 20 субъектов опытной группы (возраст 66,0 лет [58; 71]), умерших от указанной инфекции.

Критерии включения в группу контроля: отсутствие клинических проявлений COVID, отрицательная ПЦР, отсутствие в медицинской карте стационарного пациента сведений о наличии заболеваний ЖКТ.

Критерии включения в опытную группу: наличие COVID, подтвержденной методом ПЦР.

Для визуальной оценки площади поражения ЖКТ желудок и кишечник вскрывались продольно по противобрыжеечному краю, промывались от содержимого. Для оценки распространенности процесса на слизистую оболочку накладывалась прозрачная пленка с нанесенной миллиметровой сеткой и проводилось фотографирование объектов с помощью цифрового фотоаппарата. С помощью компьютерной программы ImageJ определялась площадь всего исследуемого объекта, площадь пораженных участков и определялся процент поражения слизистой органа. Образцы тканей помещались в латексный контейнер с стерильным гелем для ультразвуковых исследований. Каждому образцу присваивался идентификационный номер. Исследование морфологического материала желудка и кишечника проводилось параллельно на ультразвуковых цифровых диагностических системах высокого класса (Mindray DC-7) и экспертного класса (Mindray DC-80) с использованием линейных электронных датчиков (диапазон частот 8–16 МГц). Исследование проводилось двумя специалистами независимо другот друга. Проводилось гистологическое и иммуногистохимическое исследование препаратов.

Статистический анализ проводился с применением пакета прикладных программ Statistica 10,0. В случае распределения количественных показателей, отличного от нормального, данные представлялись в виде медианы 25-го и 75-го перцентилей: Ме [25; 75]. Для оценки статистической значимости различий сравниваемых показателей использовался t-критерий Стьюдента и U-тест Манна–Уитни.

Результаты исследования и их обсуждения

Таблица 1 — Встречаемость и площадь поражения в различных отделах желудочно-кишечного тракта при COVID-19

	Желудок	двенадцатиперстная кишка	тощая кишка	подвздошная кишка	слепая кишка	восходящий отдел толстой кишки	поперечно-ободочная кишка	нисходящий отдел толстой кишки	сигмовидная кишка	прямая кишка
Встречаемость поражений слизистой	100%	25,0%	55%	35%	8%	15%	15%	41%	55%	75%
Площадь поражения слизистой (%)	86,0 [75,0; 90,0]	48,0 [39,0; 66,0]	55,0 [50,0; 59,0]	35,0 [30,0; 41,0]	59,0 [55,0; 69,0]	34,0 [29,0; 41,0]	36,0 [30,0; 42,0]	40,0 [34,0; 47,0]	65,0 [61,0; 71,0]	69,0 [65,0; 73,0]

Судя по данным, приведенным в таблице, при боли в животе у пациентов с COVID вероятность выявления изменений, о которых речь шла выше, будет наиболее высокой в желудке, слепой кишке и ректосигмоидном отделе толстой кишки. Последнее объяснимо, поскольку вирус SARS-CoV-2 способен непосредственно действовать на эпителиоциты ЖКТ, имеющие рецепторы $\Lambda\Pi\Phi 2$. Нельзя исключить и косвенное нейротропное влияние на механизмы нейрорегуляции кишечника.

При гистологическом исследовании материала, взятого из участка пониженной эхогенности, выяснилось, что их патоморфологическим субстратом являются зоны лимфоидной инфильтрации (рисунок 1).

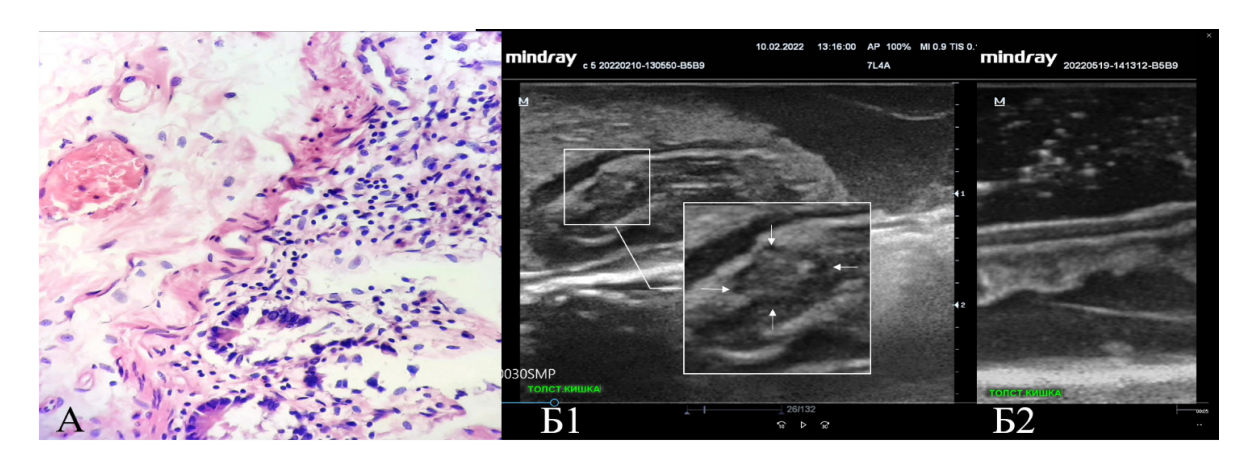


Рисунок 1 — COVID-19-ассоциированные изменения ЖКТ (толстая кишка): А — гистологический паттерн (микрофотография) слизистой с полнокровием сосудов и умеренной лимфоплазмоцитарной инфильтрацией слизистой оболочки. Окраска: гематоксилин и эозин. Увеличение: объектив 60; Б1 — ультразвуковой паттерн зоны лимфоплазмоцитарной инфильтрации; Б2 — ультразвуковой паттерн неизмененной стенки кишки (стенка не утолщена, все слои четко дифференцируются)

Для более четкого представления характера патоморфологических изменений в участках пониженной эхогенности была проведена оценка экспрессии маркеров Т-лимфоцитов, В-лимфоцитов, NK-лимфоцитов, макрофагов и лаброцитов (таблица 2).

Таблица 2 — Экспрессия маркеров Т-лимфоцитов, В-лимфоцитов, NK-лимфоцитов, макрофагов и лаброцитов в группе контроля и опытной группе

Ф	Исследованные	Удельный вес различных	Критический уровень	
Фенотип лимфоцитов	субъекты	типов лимфоцитов (%)	значимости различий	
СД8+	группа контроля	17,9 [17,4; 18,8]	p=0,00001	
Т-лимфоциты	опытная группа	6,8 [6,1; 6,8]		
СД117+	группа контроля	4,9 [4,5; 5,5]	p=0,00001	
лаброциты и др.	опытная группа	9,9 [9,0; 10,0]		
СД68+	группа контроля	7,5 [6,5; 7,8]	n=0.00001	
Макрофаги	опытная группа	9,6 [9,1; 10,6]	p=0,00001	
СД3+	группа контроля	39,9 [8,5; 42,5]	p=0,00001	
Т-лимфоциты	опытная группа	30,3 [28,5;31,0]		
СД20+	группа контроля	21,8 [18,2; 24,1]	p=0,96	
В-лимфоциты	опытная группа	21,8 [18,6; 23,9]		
СД57+	группа контроля	15,8 [14,5; 16,4]	p=0,00001	
NK-лимфоциты	опытная группа	9,4 [8,8; 10,0]		
СД4+	группа контроля	15,7 [15,2; 16,1]	p=0,00001	
Т-лимфоциты	опытная группа	1,9 [1,6; 2,2]		
Соотношоми СD4/CD9	группа контроля	0,29 [0,24; 0,33]	p=0,00001	
Соотношение CD4/CD8	опытная группа	0,86 [0,84; 0,91]		

У субъектов с COVID-ассоциированным поражением в участках лимфоидной инфильтрации статистически значимо реже определялась гиперэкспрессия общего маркера Т-лимфоцитов CD3, маркера субпопуляции регуляторных Т-лимфоцитов CD4, маркера субпопуляции цитотоксических Т-лимфоцитов CD8, маркера NK-лимфоцитов

СD57, маркера макрофагов CD68, маркера тучных клеток CD117. При этом нет значимых различий в показателях, отражающих экспрессию маркера В-лимфоцитов CD20 между группой контроля и опытной группой. Есть основания полагать, что снижение (в сравнении с данными группы контроля) экспрессии СД8, СД3, СД57, СД4 и повышение экспрессии СД117, СД68, является признаком функционального истощения Т-лимфоцитов и естественных киллеров (с неизбежным в таком случае подавлением эффективности как врожденного, так и адаптивного иммунитета) с параллельным повышением активности лаброцитов, макрофагов и смещением цитокинового баланса в сторону провоспалительного ответа, локальным проявлением которого и являются гипоэхогенные участки в пределах слизистой оболочки и подслизистого слоя.

В опытной группе было отмечено (в сравнении с группой контроля) статистически значимое снижение показателя CD4/CD8, являющегося биомаркером иммунной активации. Ранее такой феномен отмечали у пациентов с ВИЧ-инфекцией.

Подводя итог, следует отметить, что полученные в ходе исследования данные, позволяют сделать выводы.

Заключение

При ультразвуковом исследовании наиболее выраженные и доступные изменения при COVID будут выявляться в сигмовидной (65%) и прямой кишках (69%). Ультразвуковым признаком поражения желудка и кишечника при COVID являются гипоэхогенные участки в толще слизистой оболочки (эпителиальной, собственной и мышечной пластинок) и подслизистой основы; патоморфологическим субстратом указанных гипоэхогенных участков является лимфоидный инфильтрат, состоящий из скоплений Т лимфоцитов, В-лимфоцитов, NK-лимфоцитов, макрофагов и лаброцитов. Основным отличием иммуногистохимического паттерна гипоэхогенных участков в толще слизистой оболочки и подслизистой основы является снижение экспрессии СД8, СД3, СД57, СД4 и повышение экспрессии СД117, СД68 в сравнении с показателями группы контроля, что свидетельствует о функциональном истощении Т-лимфоцитов и естественных киллеров и подавлению эффективности как врожденного, так и адаптивного иммунитета с одновременным повышением активности лаброцитов, макрофагов.

СПИСОК ИСПОЛЬЗОВАННОЙ ЛИТЕРАТУРЫ

- 1. Gastrointestinal manifestations of COVID-19: results from a European centre / T. Leal [et al.] // European J Gastroenterology & Hepatology. 2021. –Vol. 33, № 5. P. 691–694. doi: 10.1097/MEG.000000000002152.
- 2. Gastrointestinal manifestations in COVID-19 / J. C. Kariyawasam [et al.] // Trans R Soc Trop Med Hyg. 2021. Vol. 115, № 12. P. 1362–1388. doi: 10.1093/trstmh/trab042.
- 3. Gastrointestinal Manifestations of COVID-19: a review of what we know / A. G. Groff [et al.] // Ochsner J. 2021. –Vol. 21, № 2. P. 177–180. doi: 10.31486/toj.20.0086.
- 4. Новая коронавирусная инфекция (COVID-19) и система органов пищеварения / В. Т. Ивашкин [и др.] // Российский журнал гастроэнтерологии, гепатологии, колопроктологии. -2020. − Т. 30, № 3. − С. 7-13. doi: https://doi.org/10.22416/1382-4376-2020-30-3-7.
- 5. CD4:CD8 ratio as a frontier marker for clinical outcome, immune dysfunction and viral reservoir size in virologically suppressed HIV-positive patients. / W. Lu [et al.] // J. Int. AIDS. Soc. –2015. Vol. 18. P. e20052. doi: 10.7448/IAS.18.1.20052.
- 6. Increased risk of serious non-AIDS-related events in HIV-infected subjects on antiretroviral therapy associated with a low CD4/CD8 ratio / S. Serrano-Villar [et al.] // PLoS One. − 2014. − Vol. 9, №1. − P. e85798. doi: 10.1371/journal.pone.0085798.